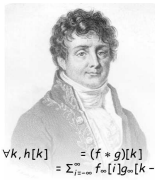


# Algorithmie de l'image Filtrage Fréquentiel

Christophe Tilmant - Vincent Barra ([tilmant@isima.fr](mailto:tilmant@isima.fr))

ISIMA - Université Blaise Pascal

ZZ3 F2-F4



$$\forall k, h[k] = (f * g)[k] \\ = \sum_{i=-\infty}^{\infty} f_{\infty}[i] g_{\infty}[k - i]$$

# Définition

La transformée de Fourier permet la décomposition d'une image  $I$  en sinusoides complexes.

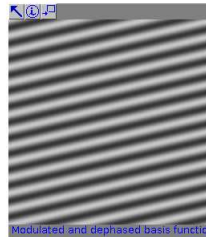
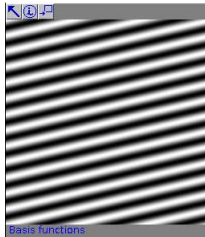
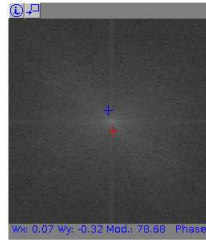
$$I(\mathbf{p}) \stackrel{TF}{\leftrightarrow} \hat{I}(\mathbf{f}) = \int_{-\infty}^{\infty} \int_{-\infty}^{\infty} I(\mathbf{p}) \cdot e^{-i2\pi\mathbf{f}\cdot\mathbf{p}} d\mathbf{p} \quad \text{où } \mathbf{f} = (f_x, f_y)$$

$$\hat{I}(\mathbf{f}) \stackrel{TF^{-1}}{\leftrightarrow} I(\mathbf{p}) = \int_{-\infty}^{\infty} \int_{-\infty}^{\infty} \hat{I}(\mathbf{f}) \cdot e^{i2\pi\mathbf{f}\cdot\mathbf{p}} d\mathbf{f}$$

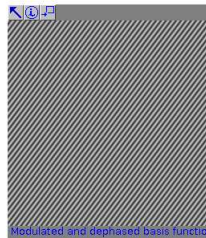
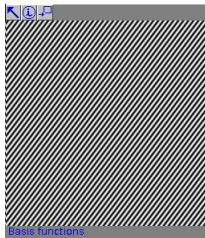
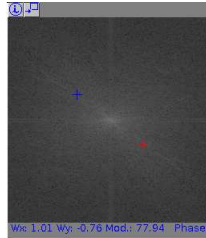
Dans le cas discret, on a la transformée de Fourier discrète :

$$I[\mathbf{m}] \stackrel{TF}{\leftrightarrow} \hat{I}[\mathbf{v}] = \sum_{i=0}^{M-1} \sum_{j=0}^{N-1} I[i, j] \cdot e^{-i2\pi(\frac{k}{M}i + \frac{l}{N}j)} \quad \text{où } \mathbf{v} = [k, l]$$

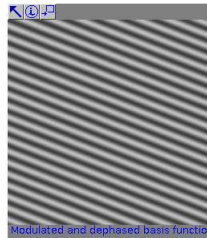
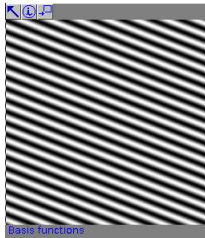
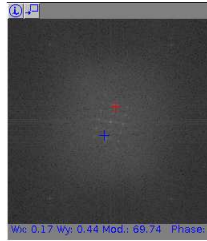
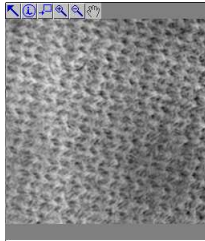
# Interprétation



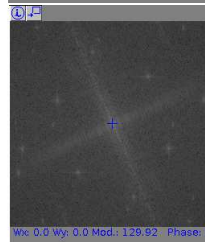
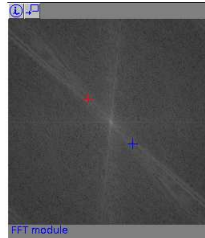
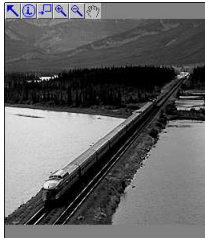
# Interprétation



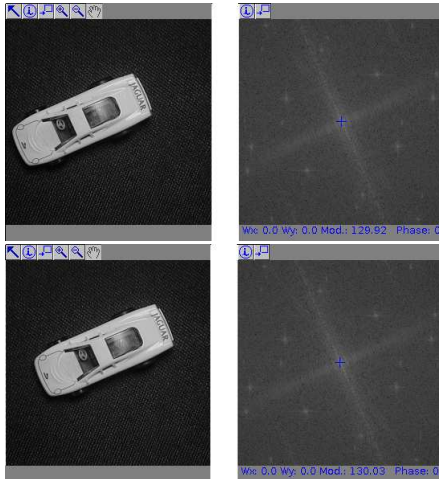
# Interprétation



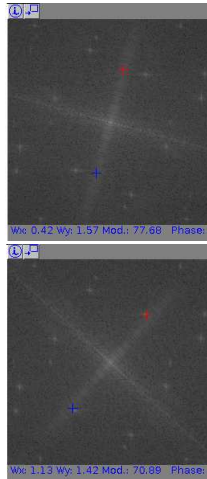
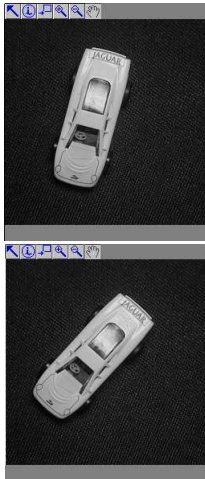
# Interprétation



# Interprétation



# Interprétation

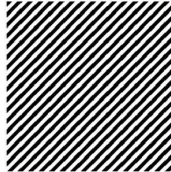




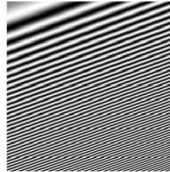
# Exercice : Retrouver le spectre de Fourier de chaque image



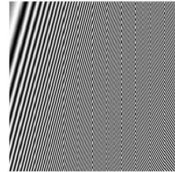
(1)



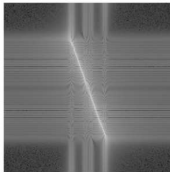
(2)



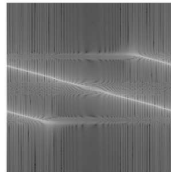
(3)



(4)



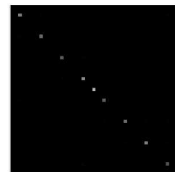
(a)



(b)



(c)



(d)

# Propriétés

$$\begin{aligned}\alpha I_1(\mathbf{p}) + \beta I_2(\mathbf{p}) &\stackrel{TF}{\longleftrightarrow} \alpha \hat{I}_1(\mathbf{f}) + \beta \hat{I}_2(\mathbf{f}); \\ I(\mathbf{p} + \mathbf{t}) &\stackrel{TF}{\longleftrightarrow} \hat{I}(\mathbf{f}) \times e^{j2\pi \mathbf{f} \cdot \mathbf{t}}; \\ I(\mathbf{R}_{\theta_0} \cdot \mathbf{p}) &\stackrel{TF}{\longleftrightarrow} \hat{I}(\mathbf{R}_{\theta_0} \cdot \mathbf{f}) \quad \text{où } \mathbf{R}_{\theta_0} = \begin{pmatrix} \cos(\theta_0) & \sin(\theta_0) \\ -\sin(\theta_0) & \cos(\theta_0) \end{pmatrix}; \\ I(\mathbf{S} \cdot \mathbf{p}) &\stackrel{TF}{\longleftrightarrow} \frac{1}{|\det(\mathbf{S})|} \hat{I}(\mathbf{S}^{-1} \cdot \mathbf{f}) \quad \text{où } \mathbf{S} = \begin{pmatrix} s_x & 0 \\ 0 & s_y \end{pmatrix} \\ I_1(\mathbf{p}) \times I_2(\mathbf{p}) &\stackrel{TF}{\longleftrightarrow} \hat{I}_1 * \hat{I}_2(\mathbf{f}); \\ I_1 * I_2(\mathbf{p}) &\stackrel{TF}{\longleftrightarrow} \hat{I}_1(\mathbf{p}) \times \hat{I}_2(\mathbf{f}).\end{aligned}$$

Cette liste n'est pas exhaustive.

# Filtrage Fréquentiel : Théorie

## Domaine fréquentiel

On rappelle que la réponse fréquentielle  $\hat{H}(\mathbf{f})$  d'un système linéaire invariant par translation est liée aux transformées de Fourier des images :

$$\hat{I}_f(\mathbf{f}) = \hat{H}(\mathbf{f}) \times \hat{I}(\mathbf{f})$$

Les répartitions fréquentielles de l'amplitude et de la phase de l'image  $I(\mathbf{m})$  sont modifiées par le système, selon la forme de la fonction complexe  $\hat{H}(\mathbf{f})$  : atténuations et amplifications des composantes des diverses fréquences.

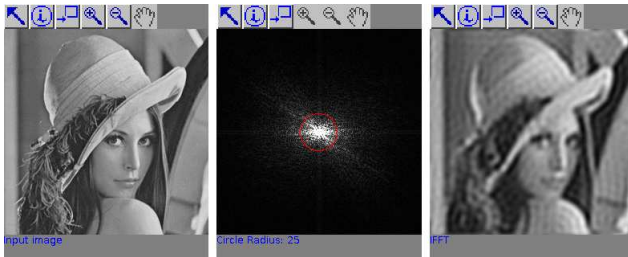
Le système correspondant est appelé *filtre*

# Filtrage Fréquentiel : Réalisation

- ① Calculer la TFD de l'image  $I[\mathbf{m}]$  :  $\hat{I}[\mathbf{v}]$  ;
- ② Calculer la réponse en fréquence du filtre :  $\hat{R}[\mathbf{v}]$  ;
- ③ Réaliser le filtrage dans le domaine fréquentiel :  
 $\hat{I}_f[\mathbf{v}] = \hat{H}[\mathbf{v}] \times \hat{I}[\mathbf{v}]$  ;
- ④ Calculer la TFD inverse de  $\hat{I}_f[\mathbf{v}]$  pour obtenir l'image :  $I_f[\mathbf{v}]$ .

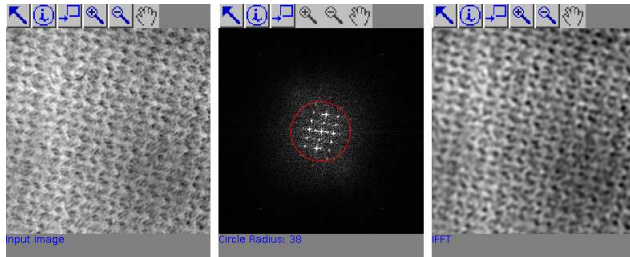
# Filtrage Fréquentiel : Type de filtre

- Passe-bas : Lisser l'image, réduction de bruit ;



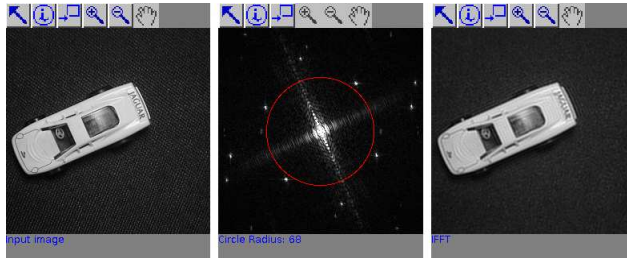
# Filtrage Fréquentiel : Type de filtre

- Passe-bas : Lisser l'image, réduction de bruit ;



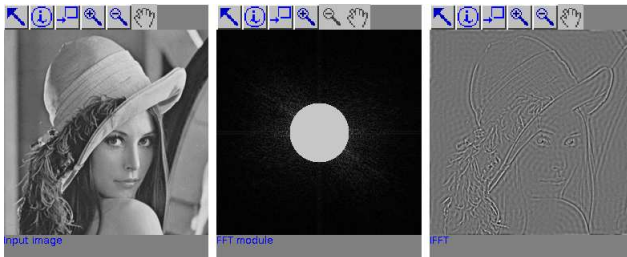
# Filtrage Fréquentiel : Type de filtre

- Passe-bas : Lisser l'image, réduction de bruit ;



# Filtrage Fréquentiel : Type de filtre

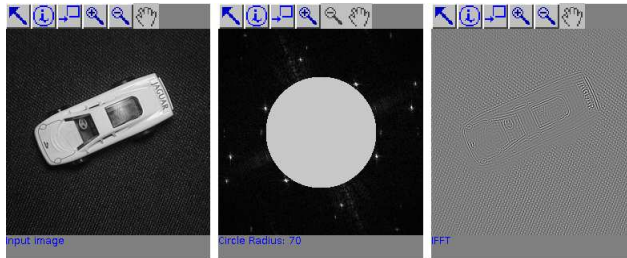
- Passe-bas : Lisser l'image, réduction de bruit ;
- Passe-haut : Détection de contour, Séparation ;





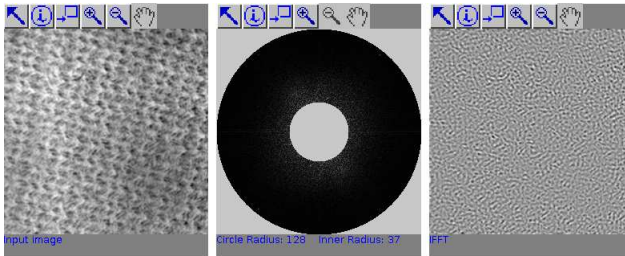
# Filtrage Fréquentiel : Type de filtre

- Passe-bas : Lisser l'image, réduction de bruit ;
- Passe-haut : Détection de contour, Séparation ;



# Filtrage Fréquentiel : Type de filtre

- Passe-bas : Lisser l'image, réduction de bruit ;
- Passe-haut : Détection de contour, Séparation ;
- Passe-bande/Coupe-bande : Sélection des textures à une échelle donnée ;



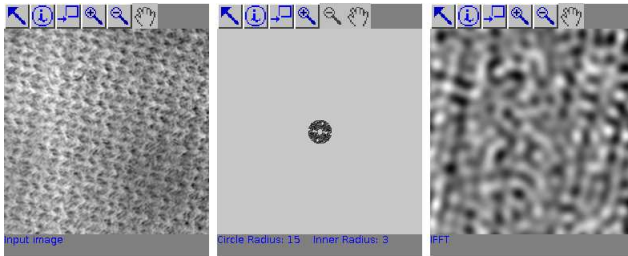
# Filtrage Fréquentiel : Type de filtre

- Passe-bas : Lisser l'image, réduction de bruit ;
- Passe-haut : Détection de contour, Séparation ;
- Passe-bande/Coupe-bande : Sélection des textures à une échelle donnée ;



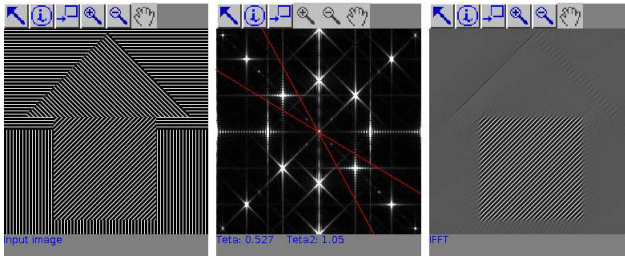
# Filtrage Fréquentiel : Type de filtre

- Passe-bas : Lisser l'image, réduction de bruit ;
- Passe-haut : Détection de contour, Séparation ;
- Passe-bande/Coupe-bande : Sélection des textures à une échelle donnée ;



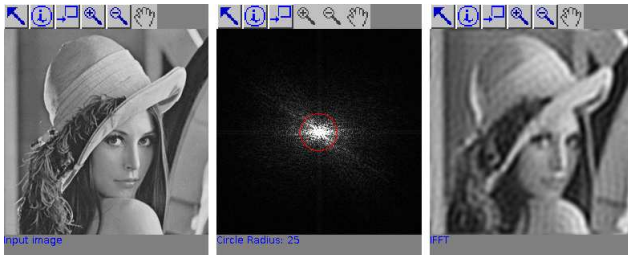
# Filtrage Fréquentiel : Type de filtre

- Passe-bas : Lisser l'image, réduction de bruit ;
- Passe-haut : Détection de contour, Séparation ;
- Passe-bande/Coupe-bande : Sélection des textures à une échelle donnée ;
- Filtre directionnel : Sélection des textures à une orientation donnée.



# Filtrage Fréquentiel : Phénomène de Gibbs

Généralement, on préfère utiliser des réponses en fréquence "soft" (Butterworth par exemple) pour éviter le phénomène de Gibbs (cf. théorème de Gabor).



# Exemple d'utilisation : Recalage par corrélation de phase

## Cas de la translation

Dans le cas de deux images  $I_1$  et  $I_2$  qui vérifie la relation suivante  $I_2(\mathbf{m}) = I_1(\mathbf{m} + \mathbf{t}_0)$ , leurs spectres ont le même module, mais surtout une différence de phase directement liée à la translation. Soit le spectre de puissance croisée (*cross-power spectrum*) :

$$\hat{R}(\mathbf{f}) = \frac{\hat{I}_1(\mathbf{f})\hat{I}_2^*(\mathbf{f})}{|\hat{I}_1(\mathbf{f})\hat{I}_2^*(\mathbf{f})|}$$

alors

$$\hat{R}(\mathbf{f}) = \frac{\hat{I}_1(\mathbf{f})\hat{I}_1^*(\mathbf{f})e^{-j2\pi\mathbf{f}\cdot\mathbf{t}_0}}{|\hat{I}_1(\mathbf{f})\hat{I}_1^*(\mathbf{f})|} = e^{-j2\pi\mathbf{f}\cdot\mathbf{t}_0}$$

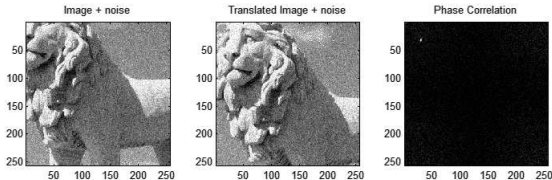
$$\text{donc } \hat{R}(\mathbf{f}) \overset{TF^{-1}}{\longleftrightarrow} R(\mathbf{t}) = \delta(\mathbf{t} - \mathbf{t}_0)$$

## Exemple d'utilisation : Recalage par corrélation de phase Cas de la translation

Le recalage entre les deux images (c'est-à-dire l'estimation de la translation) se réalise en recherchant le maximum de la transformée de Fourier inverse du spectre de puissance croisée :

$$\tilde{t} = \arg \max_t R(t) \simeq t_0$$

Robuste sur des images avec différentes conditions d'éclairage =>  
Corrélation de phase est invariante aux changements linéaires des intensités lumineuses.





## Exemple d'utilisation : Recalage par corrélation de phase

### Cas des similitudes

Les différentes extensions cherchent à se ramener au cas précédent de l'estimation de la translation.

- **Rotation** : changement de variable en allant vers un système de coordonnées polaire alors  $\hat{I}_2(f_x, f_y)$  devient
$$\hat{I}_2(\rho, \theta) = \hat{I}_1(\rho, \theta - \theta_0);$$
- **Similitude** : on se ramène à un problème de translation en travaillant avec des axes logarithmiques, en effet  $\hat{I}_2(f_x, f_y)$  devient
$$\hat{I}_2(\log(f_x), \log(f_y)) \propto \hat{I}_1(\log(f_x) - \log(s_x), \log(f_y) - \log(s_y)).$$